

УДК 539.3

КВАЗИСТАТИЧЕСКАЯ ПЕРИОДИЧЕСКАЯ КОНТАКТНАЯ ЗАДАЧА ДЛЯ ВЯЗКОУПРУГИХ СЛОЯ, ЦИЛИНДРА И ПРОСТРАНСТВА С ЦИЛИНДРИЧЕСКОЙ ПОЛОСТЬЮ

В. М. Александров, А. В. Марк

Институт проблем механики им. А. Ю. Ишлинского РАН, 119526 Москва
E-mail: alexand@ipmnet.ru

Рассмотрена контактная задача о взаимодействии жестких штампа, бандажа и вкладыша с вязкоупругими слоем, цилиндром и пространством с цилиндрической полостью соответственно. Предполагается, что штамп, бандаж и вкладыш движутся по границам вязкоупругих тел с постоянной скоростью. В пренебрежении трением в области контакта на первом этапе определяется перемещение границ указанных тел в зависимости от приложенных к ним нормальных нагрузок. На втором этапе выводятся интегральные уравнения собственно контактных задач для определения контактного давления. На третьем этапе с использованием модифицированного метода Мультипола — Каландии строятся приближенные решения интегральных уравнений.

Ключевые слова: вязкоупругий слой, цилиндр, движущийся штамп, контактное давление.

1. Решение вспомогательной задачи. Пусть штамп, бандаж, вкладыш движутся с постоянной скоростью V по границам вязкоупругих слоя, цилиндра и пространства с цилиндрической полостью (рис. 1). Будем считать, что вязкоупругие тела описываются моделью Кельвина [1]. Движение штампа будем рассматривать в декартовых координатах x, y, z , а движение бандажа и вкладыша — в цилиндрических координатах r, φ, z .

Сначала выведем зависимости перемещений границ слоя, цилиндра и пространства с цилиндрической полостью от приложенных к ним нормальных нагрузок $q(\eta, z)$ в упругой постановке задачи (нагрузки неподвижны), а затем согласно [1] получим зависимости перемещений границ вязкоупругих тел от движущихся по ним с постоянной скоростью нагрузок.

Запишем уравнения упругого равновесия

$$2(1 - \nu) \operatorname{grad} \operatorname{div} \mathbf{u} - (1 - 2\nu) \operatorname{rot} \operatorname{rot} \mathbf{u} = 0 \quad (1.1)$$

и граничные условия

$$\begin{aligned} \sigma_{\xi\xi}(l, \eta, z) &= -q(\eta, z) \quad (|z| \leq a), & \sigma_{\xi\xi}(l, \eta, z) &= 0 \quad (|z| > a), \\ \sigma_{\xi\eta}(l, \xi, z) &= \sigma_{\xi z}(l, \eta, z) = 0, \\ u_{\xi}(0, \eta, z) &= u_{\eta}(0, \eta, z) = u_z(0, \eta, z) = 0 \end{aligned} \quad (1.2)$$

(последнее условие выполняется только для слоя). В (1.1), (1.2) u_{ξ}, u_{η}, u_z — компоненты вектора перемещений \mathbf{u} по направлениям ξ, η, z ; $\sigma_{\xi\xi}$ — нормальное напряжение; $\sigma_{\xi\eta}, \sigma_{\xi z}$ —

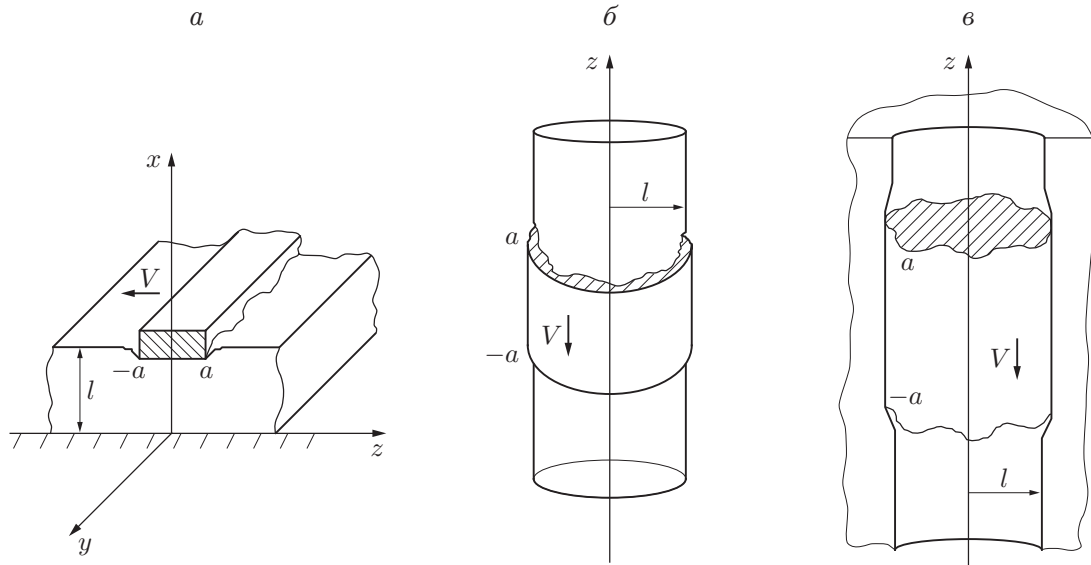


Рис. 1. Схемы контактных задач:
 а — штамп; б — бандаж; в — вкладыш

касательные напряжения; ν — коэффициент Пуассона; l — толщина слоя либо радиус цилиндра или цилиндрической полости; под ξ понимается координата x (или r), под η — координата y (или φ).

Уравнения (1.1) будем решать с использованием преобразования Фурье по координате z и (вследствие периодичности задач) в виде ряда по координате η :

$$\mathbf{u} = e^{-i\beta\eta} \mathbf{u}_\beta, \quad \mathbf{u}_\beta = \frac{1}{2\pi} \int_{-\infty}^{\infty} \mathbf{U}_\beta(\alpha, \xi) e^{-i\alpha z} d\alpha. \quad (1.3)$$

При этом

$$q(\eta, z) = e^{-i\beta\eta} q_\beta(z), \quad q_\beta(z) = \frac{1}{2\pi} \int_{-\infty}^{\infty} Q_\beta(\alpha) e^{-i\alpha z} d\alpha. \quad (1.4)$$

Здесь \mathbf{u}_β — вектор амплитуд перемещений с компонентами $u_{\beta\xi}, u_{\beta\eta}, u_{\beta z}$; $\mathbf{U}_\beta, Q_\beta(\alpha)$ — фурье-трансформанты функций \mathbf{u}_β и $q_\beta(z)$; β — частота волны на поверхности штампа, бандажа или вкладыша.

Решение задачи (1.1) с граничными условиями (1.2) с учетом (1.3), (1.4) ищется при следующих дополнительных предположениях: при $z \rightarrow \infty$ напряжения отсутствуют, кроме того, в случае цилиндра при $\xi = 0$ напряжения ограничены, а в случае пространства с цилиндрической полостью при $\xi \rightarrow \infty$ напряжения отсутствуют. В результате для нормальных перемещений u_ξ границ указанных тел получим выражение

$$u_\xi(l, \eta, z) = \mp \frac{1}{\pi\Theta} e^{-i\beta\eta} \int_{-a}^a q_\beta(\zeta) \int_0^\infty \frac{L_i(u)}{u} \cos \frac{u}{l} (\zeta - z) du d\zeta, \quad \Theta = \frac{G}{1 - \nu}, \quad (1.5)$$

где для слоя

$$L_1(u) = \frac{(2\kappa \operatorname{sh}(2s) - 4s)u}{s(2\kappa \operatorname{ch}(2s) + \kappa^2 + 1 + 4s^2)}, \quad s = \sqrt{u^2 + l^2\beta^2}, \quad \kappa = 3 - 4\nu, \quad (1.6)$$

для цилиндра

$$L_2(u) = k_\beta(u)/l_\beta(u), \quad (1.7)$$

для пространства с цилиндрической полостью

$$L_3(u) = m_\beta(u)/n_\beta(u) \quad (1.8)$$

(a — полудлина области контакта; G — модуль сдвига). В уравнении (1.5) и далее верхний знак (“+” или “−”) соответствует задаче о слое или цилиндре, нижний знак (“+” или “−”) — задаче о пространстве с цилиндрической полостью. В задаче о цилиндре или пространстве с цилиндрической полостью β является целым числом. Функции $k_\beta(u)$, $l_\beta(u)$, $m_\beta(u)$, $n_\beta(u)$ имеют вид [2]

$$\begin{aligned} \left\{ \begin{array}{l} k_\beta(u) \\ m_\beta(u) \end{array} \right\} &= -\frac{\beta^2}{2\alpha u^2} \left\{ \begin{array}{l} \omega_\beta(u) \\ \Omega_\beta(u) \end{array} \right\}^3 \left(1 + \frac{\beta^2}{u^2}\right) - \frac{\beta^2}{u^3} \left\{ \begin{array}{l} \omega_\beta(u) \\ \Omega_\beta(u) \end{array} \right\}^2 - \\ &\quad - \frac{1}{2} \left\{ \begin{array}{l} \omega_\beta(u) \\ \Omega_\beta(u) \end{array} \right\} \left(1 - \frac{\beta^2}{\alpha u^2}\right) + \frac{1}{u}, \\ \left\{ \begin{array}{l} l_\beta(u) \\ n_\beta(u) \end{array} \right\} &= \pm \frac{1}{2} u \left\{ \begin{array}{l} \omega_\beta(u) \\ \Omega_\beta(u) \end{array} \right\}^3 \left[\frac{\alpha \beta^2}{u^4} - \left(1 + \frac{\beta^2}{u^2}\right)^3 + \frac{\beta^2}{u^4} \left(1 + \frac{\beta^2}{u^2}\right) \right] \pm \\ &\quad \pm \left\{ \begin{array}{l} \omega_\beta(u) \\ \Omega_\beta(u) \end{array} \right\}^2 \left[\left(1 + \frac{\beta^2}{u^2}\right) \left(1 - \frac{\alpha \beta^2}{u^2}\right) + \frac{\alpha \beta^2}{u^4} \right] \pm \\ &\quad \pm \frac{1}{2} u \left\{ \begin{array}{l} \omega_\beta(u) \\ \Omega_\beta(u) \end{array} \right\} \left[\frac{\alpha}{u^2} + \left(1 + \frac{\beta^2}{u^2}\right)^2 - \frac{\beta^2}{u^4} \right] \pm \frac{\alpha(\beta^2 - 1)}{u^2} \mp 1, \end{aligned} \quad (1.9)$$

где $\omega_\beta(u) = I_\beta(u)/[I'_\beta(u)]$; $\Omega_\beta(u) = K_\beta(u)/[K'_\beta(u)]$; $\alpha = 2(1 - \nu)$; $I_\beta(u)$, $K_\beta(u)$ — модифицированные функции Бесселя первого и второго рода порядка β .

Рассмотрим вязкоупругую задачу. Движение нагрузки будем рассматривать в системе координат, которая движется с постоянной скоростью V в отрицательном направлении оси z вместе с нагрузкой. Движение считается установившимся. В данных координатах перемещение и нагрузка $q(\eta, z)$ не зависят от времени.

Итак, в упругой постановке задачи выражение для амплитуд нормальных перемещений имеет вид (1.5), в случае вязкоупругих слоя, цилиндра, пространства с цилиндрической полостью выражение (1.5) в соответствии с принципом Вольтерры принимает вид (по аналогии с формулой (49.2) в [1])

$$u_{\beta\xi}(z, l) = \mp \frac{1}{\pi \Theta_f} \int_{-a}^a q_\beta(\zeta) \left[K\left(\frac{\zeta - z}{l}\right) + \int_{-\infty}^0 p(-\tau) K\left(\frac{\zeta - z - V\tau}{l}\right) d\tau \right] d\zeta, \quad (1.10)$$

где

$$K(t) = \int_0^\infty \frac{L_i(u)}{u} \cos(ut) du, \quad p(t) = k \exp\left(-\frac{t}{\lambda}\right), \quad k = \frac{1}{\gamma} \left(1 - \frac{\gamma}{\lambda}\right), \quad \Theta_f = \frac{G_f}{1 - \nu},$$

λ , γ — вязкие постоянные; G_f — мгновенный модуль сдвига.

2. Вывод интегрального уравнения. Исследуем контактную задачу, в которой величина $u_\xi(\eta, z, l)$ известна и равна $\mp \delta(\eta, z)$, а контактное давление $q(\eta, z)$ неизвестно. Если рассматривается задача для слоя, то величина $\delta(\eta, z)$ понимается как внедрение штампа в слой, а если рассматривается задача для цилиндра или пространства с цилиндрической полостью, то функция $\delta(\eta, z)$ определяется следующим образом:

$$\delta(\eta, z) = \mp (\rho(\eta, z) - l).$$

Здесь $\rho = \rho(\eta, z)$ — уравнение поверхности бандажа или вкладыша.

Будем считать, что функцию $\delta(\eta, z)$ можно представить в виде

$$\delta(\eta, z) = \delta_\beta(z) e^{-i\beta\eta}.$$

Следует отметить, что исследуемые задачи являются суперпозицией двух задач: задачи при $\beta = 0$ (гладкие штамп, бандаж, вкладыш) и задачи при $\beta \neq 0$ (волнистые штамп, бандаж, вкладыш).

Все функции $L_i(u)$ ($i = 1, 2, 3$) в (1.6)–(1.8) в окрестности значения $u = 0$ имеют вид $L(u) = Cu + O(u^3)$, исключение составляет функция $L_2(u)$ при $\beta = 1$. В последнем случае при $\beta = 1$ в (1.6) имеют место следующие разложения в окрестности нуля:

$$k_1(u) = -\frac{1}{4}\alpha^{-1}u - \frac{1}{24}\frac{2\alpha - 5}{\alpha}u^3 + O(u^5), \quad l_1(u) = \left(-\frac{1}{8} + \frac{1}{32}\alpha\right)u^4 + O(u^6),$$

т. е. при $\beta = 1$ интеграл (1.5), содержащий $L_2(u)$, расходится. В данной работе этот случай не рассматривается.

Введем следующие безразмерные величины и обозначения:

$$\begin{aligned} \varphi(z') &= \frac{q(z)}{\Theta_f}, \quad \varepsilon = \frac{l}{a}, \quad \mu = \frac{\lambda V}{a}, \quad g(z') = \frac{\delta_\beta(z)}{a}, \\ z' &= \frac{z}{a}, \quad \zeta' = \frac{\zeta}{a}, \quad \tau' = \frac{\tau}{\lambda}, \quad w' = \zeta' - z'. \end{aligned} \tag{2.1}$$

В задаче о слое необходимо ввести величину $\beta' = \beta a$. С учетом (2.1) уравнение (1.10) запишем в виде

$$\int_{-1}^1 \varphi(\zeta) \left[K_1\left(\frac{w}{\varepsilon}\right) + k\lambda K_2\left(\frac{w}{\varepsilon}\right) \right] d\zeta = \pi g(z); \tag{2.2}$$

$$K_1\left(\frac{w}{\varepsilon}\right) = \int_0^\infty \frac{L_i(u)}{u} \cos\left(\frac{uw}{\varepsilon}\right) du; \tag{2.3}$$

$$K_2\left(\frac{w}{\varepsilon}\right) = \int_{-\infty}^0 e^\tau \int_0^\infty \frac{L_i(u)}{u} \cos\left(u \frac{w - \mu\tau}{\varepsilon}\right) du d\tau. \tag{2.4}$$

Здесь и далее штрихи опущены. С использованием представления

$$\ln |t| = \int_0^\infty \frac{e^{-u} - \cos(ut)}{u} du$$

в уравнении (2.3) выделим логарифмическую часть. В результате получим

$$\begin{aligned} K_1\left(\frac{w}{\varepsilon}\right) &= -\ln\left|\frac{w}{\varepsilon}\right| + F_1\left(\frac{w}{\varepsilon}\right), \\ F_1\left(\frac{w}{\varepsilon}\right) &= -\int_0^\infty \frac{[1 - L_i(u)] \cos(uw/\varepsilon) - e^{-u}}{u} du. \end{aligned}$$

Преобразуем уравнение (2.4):

$$K_2\left(\frac{w}{\varepsilon}\right) = \int_0^{\infty} \frac{L_i(u)}{u} \int_{-\infty}^0 e^{\tau} \cos\left(u \frac{w - \mu\tau}{\varepsilon}\right) d\tau du = \\ = \int_0^{\infty} \frac{L_i(u)}{u} \frac{\varepsilon^2 \cos(uw/\varepsilon) - \varepsilon\mu u \sin(uw/\varepsilon)}{\varepsilon^2 + \mu^2 u^2} du = J_1\left(\frac{w}{\varepsilon}\right) + J_2\left(\frac{w}{\varepsilon}\right).$$

Здесь

$$J_1\left(\frac{w}{\varepsilon}\right) = \varepsilon^2 \int_0^{\infty} \frac{L_i(u)}{u} \frac{\cos(uw/\varepsilon)}{\varepsilon^2 + \mu^2 u^2} du, \quad J_2\left(\frac{w}{\varepsilon}\right) = -\varepsilon\mu \int_0^{\infty} \frac{L_i(u) \sin(uw/\varepsilon)}{\varepsilon^2 + \mu^2 u^2} du. \quad (2.5)$$

Выполнив преобразования, для улучшения сходимости интегралов в (2.5) ядро интегрального уравнения (2.2) представим в виде

$$M(w) = -\ln\left|\frac{w}{\varepsilon}\right| + F(w), \quad (2.6)$$

где для задачи о слое

$$F(w) = F_1\left(\frac{w}{\varepsilon}\right) + k\lambda \left[\sum_{i=1}^3 F_i\left(\frac{w}{\varepsilon}\right) + E_1(w) \right], \quad (2.7)$$

для задачи о цилиндре и пространстве с цилиндрической полостью

$$F(w) = F_1\left(\frac{w}{\varepsilon}\right) + k\lambda \left[J_1\left(\frac{w}{\varepsilon}\right) + F_3\left(\frac{w}{\varepsilon}\right) + E_2(w) \right]. \quad (2.8)$$

В (2.7), (2.8)

$$F_2\left(\frac{w}{\varepsilon}\right) = \mu^2 \int_0^{\infty} \frac{[1 - L(u)]u}{\varepsilon^2 + \mu^2 u^2} \cos\left(\frac{uw}{\varepsilon}\right) du, \quad F_3\left(\frac{w}{\varepsilon}\right) = \varepsilon\mu \int_0^{\infty} \frac{1 - L(u)}{\varepsilon^2 + \mu^2 u^2} \sin\left(\frac{uw}{\varepsilon}\right) du, \\ E_1(w) = \exp\left(\frac{w}{\mu}\right) \text{Ei}\left(-\frac{w}{\mu}\right) - \ln\left|\frac{w}{\varepsilon}\right|, \\ E_2(w) = -\frac{1}{2} \left[\exp\left(-\frac{w}{\mu}\right) \text{Ei}\left(\frac{w}{\mu}\right) - \exp\left(\frac{w}{\mu}\right) \text{Ei}\left(-\frac{w}{\mu}\right) \right],$$

$\text{Ei}(x)$ — интегральная показательная функция [3]. Функция $F(w)$ непрерывна.

Выражения (2.7), (2.8), по сути, определяют одну и ту же функцию, но в силу того, что поведение функций $L_i(u)$ на бесконечности различно, для лучшей сходимости интегралов целесообразно использовать эти выражения в соответствующих задачах.

Итак, имеем уравнение

$$\int_{-1}^1 \varphi(\zeta) M(w) d\zeta = \pi g(z) \quad (2.9)$$

с ядром (2.6).

3. Решение контактной задачи о штампе, бандаже и вкладыше с острыми краями. В случае штампа, бандажа и вкладыша с острыми краями решение интегрального уравнения (2.9) с ядром (2.6) можно представить в виде

$$\varphi(z) = \Phi(z)(1 - z^2)^{-1/2},$$

где $\Phi(z) \in C_n(-1, 1)$ (см. теорему 2.1 в [4]).

Для данной задачи положим $g(z) \equiv g$. Уравнение (2.8) с ядром (2.6) будем решать модифицированным методом Мультиппа — Каландии [2]. Для функции $\Phi(z)$ построим интерполяционный полином Лагранжа по узлам

$$z_n = \cos \theta_n, \quad \theta_n = \pi(2n - 1)/(2N) \quad (n = 1, 2, \dots, N),$$

являющимся нулями полинома Чебышева $T_N(z)$. Такой многочлен имеет вид

$$\Phi(\cos \vartheta) = \frac{1}{N} \sum_{n=1}^N \Phi_n \left(1 + 2 \sum_{m=1}^{N-1} \cos m\theta_n \cos m\vartheta \right). \quad (3.1)$$

Перейдя к новым переменным $z = \cos \vartheta$, $\zeta = \cos \psi$, уравнение (2.9) запишем в виде

$$\int_0^\pi \Phi(\cos \psi) \ln \left| \frac{\cos \psi - \cos \vartheta}{\varepsilon} \right| d\psi = \pi g - \int_0^\pi \Phi(\cos \psi) F(\cos \psi - \cos \vartheta) d\psi, \quad (3.2)$$

$$\vartheta \in [0, \pi].$$

Подставив (3.1) в уравнение (3.2), с использованием соотношения

$$-\int_0^\pi \cos s\psi \ln \left| \frac{\cos \psi - \cos \vartheta}{\varepsilon} \right| d\psi = \begin{cases} \pi \ln(2\varepsilon), & s = 0, \\ \pi s^{-1} \cos s\vartheta, & s \neq 0 \end{cases}$$

и квадратурной формулы Гаусса

$$\int_0^\pi \chi(\psi) d\psi = \frac{\pi}{N} \sum_{n=1}^N \chi(\theta_n)$$

получим

$$\sum_{n=1}^N \Phi_n \left(\ln(2\varepsilon) + 2 \sum_{m=1}^{N-1} \frac{\cos m\theta_n \cos m\vartheta}{m} \right) = Ng - \sum_{n=1}^N \Phi_n F(\cos \theta_n - \cos \vartheta).$$

Применяя метод коллокации, т. е. полагая $\vartheta = \theta_k$, получаем систему линейных алгебраических уравнений для определения Φ_n :

$$\sum_{n=1}^N \Phi_n \left(\ln(2\varepsilon) + 2 \sum_{m=1}^{N-1} \frac{\cos m\theta_n \cos m\theta_k}{m} + F(\cos \theta_n - \cos \theta_k) \right) = Ng,$$

$$k = 1, 2, \dots, N.$$

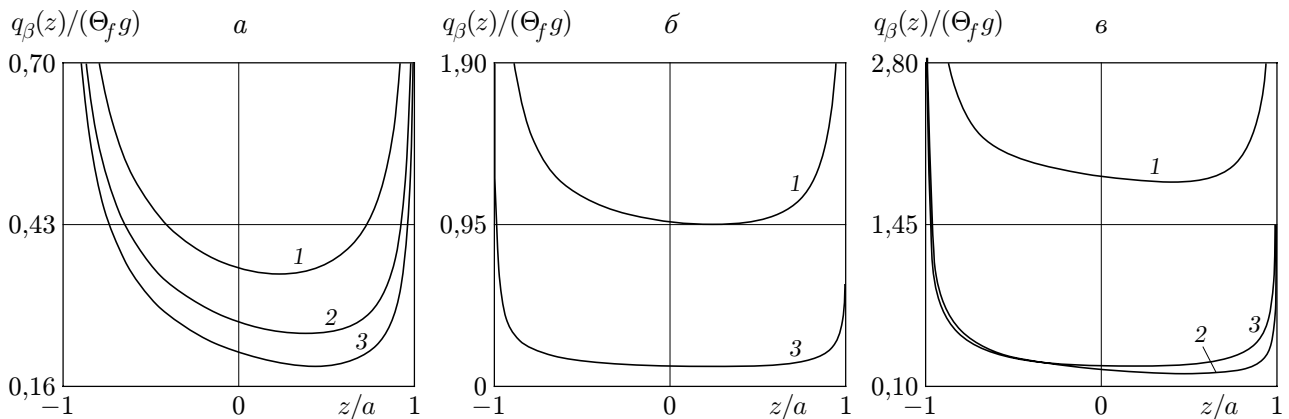


Рис. 2. Распределение контактных давлений по координате z :
 а — $\beta = 0$; б — $\beta = 1$; в — $\beta = 2$; 1–3 — контактное давление (1 — под штампом;
 2 — под бандажом; 3 — под вкладышем)

4. Примеры численных расчетов. В качестве вязкоупругой среды рассмотрим один из видов резины, для которой $\nu = 0,3$, $\lambda/\gamma = 1001$.

На рис. 2 показаны распределения контактных давлений по координате z для рассматриваемых тел при $\beta = 0, 1, 2$. Кривые 1, 2, 3 соответствуют распределениям контактных давлений под штампом, биндажом, вкладышем соответственно. Расчеты проводились при значениях $\mu = 10^4$, $\varepsilon = 8$. Кривая 2 на рис. 2,б отсутствует, так как она соответствует случаю $\beta = 1$ для цилиндра, который не рассматривается.

ЛИТЕРАТУРА

1. **Работнов Ю. Н.** Элементы наследственной механики твердых тел. М.: Наука, 1977.
2. **Александров В. М.** Контактные задачи в машиностроении / В. М. Александров, Б. Л. Ромалис. М.: Машиностроение, 1986.
3. **Градштейн И. С.** Таблицы интегралов, сумм, рядов и произведений / И. С. Градштейн, И. М. Рыжик. М.: Физматгиз, 1962.
4. **Александров В. М.** Задачи механики сплошных сред со смешанными граничными условиями / В. М. Александров, Е. В. Коваленко. М.: Наука, 1986.

*Поступила в редакцию 29/I 2008 г.,
в окончательном варианте — 19/IX 2008 г.*
